

## Coated $\text{Si}_3\text{N}_4$ - TiC ceramic 공구의 마모 특성

Wear characteristics of coated  $\text{Si}_3\text{N}_4$ - TiC ceramic tool

김 동 원\*, 권 오 관, 이 준 근, 천 성 순

한 국 과 학 기 술 원

### 1. 서 론

보호피막을 입히는 방법으로는 화학증착법과 물리증착법이 주로 사용되고 있다. 고온 분위기에서 기체 상태인 반응물의 화학반응을 통하여 원하는 물질을 증착시키는 화학증착법은 물리증착법에 비해 접착성 ( adhesion )이 우수하고, 보호피막층의 성분조절이 용이하며, 반응물이 기체상태이므로 대량생산이 용이하여 보호피막 증착법으로 많이 이용되고 있다.  $\text{Si}_3\text{N}_4$ - TiC ceramic 표면에 TiC, TiN 및 Ti(C,N) coating 을 함으로써 얻을 수 있는 장점들은 표면층의 경도를 증가시키며, steel 과의 마찰계수의 감소및 coating 층 자체가 고온에서 고체 윤활제로 작용하여 마찰열의 상당한 감소를 얻을 수 있으며, 또한 coating 층 자체가 비교적 안정한 화합물로 피삭재내의 성분원소들에 대한 diffusion barrier 로 작용되며, 내식성을 증가시킬 수 있다.

본 연구에서는 각 증착층의 미소경도, 열충격저항, steel 과의 마찰계수를 측정하였으며, 최종적으로 절삭시험을 통하여 증착층들의 내마모성을 조사, 규명하였다.

## 2. 본 론

### 2-1. 증착층의 미소경도

TiC coating 층의 미소경도는 증착온도는 1373 K,  $TiCl_4$  분압은 0.013 atm,  $CH_4$  분압은 0.015 atm 인 증착조건하에서 최대경도 2650 Kg/mm<sup>2</sup>을 나타내었다. 또한 TiN coating 층의 미소경도는 증착온도는 1348 K,  $TiCl_4$  분압은 0.020 atm,  $N_2$  분압은 0.49 atm 인 증착조건에서 1700 Kg/mm<sup>2</sup>을 보였다.

### 2-2. 증착층의 열충격저항

열 충격 저항 실험은 일정한 두께를 갖는 coating 층의 insert 를 1373 K 에서 573 K 로 냉각시킬 때, 냉각속도에 따라 나타나는 thermal crack 의 정도로서 비교하였다. 실험결과를 통하여 보면  $Si_3N_4$  - TiC 표면에 TiN coating 층은 표면 crack 을 나타낸 반면에 TiC coating 층은 표면 crack 을 나타내지 않았다. 이와 같은 열적으로 기인된 표면 crack 은 coated tool 에서 failure 를 조장하는 역할을 하므로 되도록 표면 crack 을 방지하여야 한다. 따라서 위와 같은 결과로부터  $Si_3N_4$  - TiC ceramic 표면에 TiC coating 층이 TiN coating 층에 비해 열충격저항이 우수함을 알 수 있다.

### 2-3. steel 과의 마찰계수 및 화학적 안정성

$Si_3N_4$  - TiC ceramic, TiC coating, TiN coating 들과 steel 과의 마찰계수를 조사하기 위하여 LFW-1 마모시험장치를 이용하였다.

Specimen 과 steel 과의 측정된 마찰계수값은 dry condition 하에서, steel 과  $Si_3N_4$  - TiC ceramic 간의 마찰계수값은 0.58, TiC coating 층의 경우에는 0.44, TiN 의 경우에는 0.33 이었다. 또한 Fe 와 공구재료의 용해도를 조사하여 본 바에 의하면,  $Si_3N_4$  - TiC 의

경우에는  $6.50 \times 10^{-2}$ , TiC 의 경우에는  $1.86 \times 10^{-3}$ , TiN 의 경우에는  $1.04 \times 10^{-3}$ 으로 보고되어있다. 이상과 같은 결과로 부터 TiN coating 층은 TiC coating 층에 비해 steel 과의 마찰계수및 화학적 안정성이 우수하였다. TiC coating 층과 TiN coating 층의 미세구조적 성질및 기계적 성질들을 요약하여 Table 1 에 나타내었다.

#### 2-4. 증착층의 내마모특성

실제로 절삭시험을 통하여  $\text{Si}_3\text{N}_4$  - TiC ceramic 과 coated insert 간에 내마모성을 비교하여 Fig.1 과 Fig.2 에 나타내었다.

Fig.1 의 경우에는 flank wear 와 cutting time 과의 관계를 나타내었다.  $\text{Si}_3\text{N}_4$ - TiC ceramic insert 에 비해, TiN coated insert 의 경우 내마모성이 약 9 배 정도 증가하였으며, TiC 및 multilayer coated insert 의 경우에는 내마모성이 약 12 배 정도 증가하였다.

Fig.2 의 경우에는 crater wear 와 cutting time 의 관계를 나타내었다.  $\text{Si}_3\text{N}_4$ - TiC ceramic insert 에 비해, TiC coated insert 의 경우 내마모성이 약 8 배 정도 증가하였으며, TiN 및 multilayer coated insert 의 경우에는 내마모성이 약 12 배 정도 증가하였다.

### 3. 결 론

- (1) TiC 및 TiN coating 층은 stoichiometric 조성에서 최대 미소경도 값을 나타내었다.
- (2)  $\text{Si}_3\text{N}_4$ -TiC ceramic 위에 증착된 TiC coating 층이 TiN 층에 비해 경도, 미세구조적 성질, 열충격저항 및 결합강도가 우수한 반면에 TiN 층은 TiC 층에 비해 steel 과의 마찰 계수가 낮고, 화학적 안정성도 우수하였다.
- (3) Steel 을 절삭할 때  $\text{Si}_3\text{N}_4$ -TiC ceramic 에 비해, TiC 및 TiN coated insert 의 경우가 flank 및 crater wear resistance 가 우수하였다.
- (4) Steel 을 절삭할 때  $\text{Si}_3\text{N}_4$ -TiC ceramic 위에 TiC/Ti(C,N)/TiN multilayer coating 된 경우가 monolayer coating 된 경우보다 내마모성이 우수하였다.

Table 1. Microstructural and mechanical properties of TiC and TiN coating on  $\text{Si}_3\text{N}_4$  - TiC ceramic.

Coating material	Microstructure*	Interfacial width** ( $\mu\text{m}$ )	Microhardness ( $\text{kg mm}^{-2}$ )	Thermal shock resistance	Friction coefficient with steel***	Chemical stability
TiC	Randomly oriented equiaxed structure	1.3	2650	poor	0.44	good
TiN	Columnar structure with (220) preferred orientation	0.6	1700	good	0.33	very good

\* Microstructure of stoichiometric composition.

\*\* This value is measured by AES depth profile.

\*\*\* The friction coefficient in dry condition.

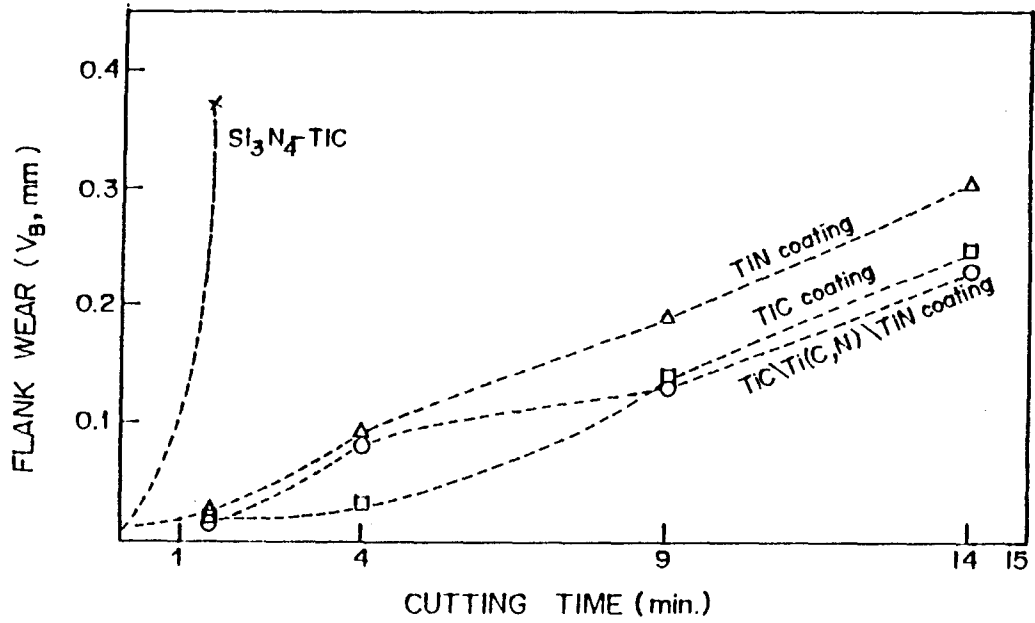


Fig. 1 Average flank wear with time for different tools  
 (cutting speed:250m/min, feed rate:0.3mm/rev, depth  
 of cut:1.5mm, workmaterial:SM48C, cutting fluid:dry).

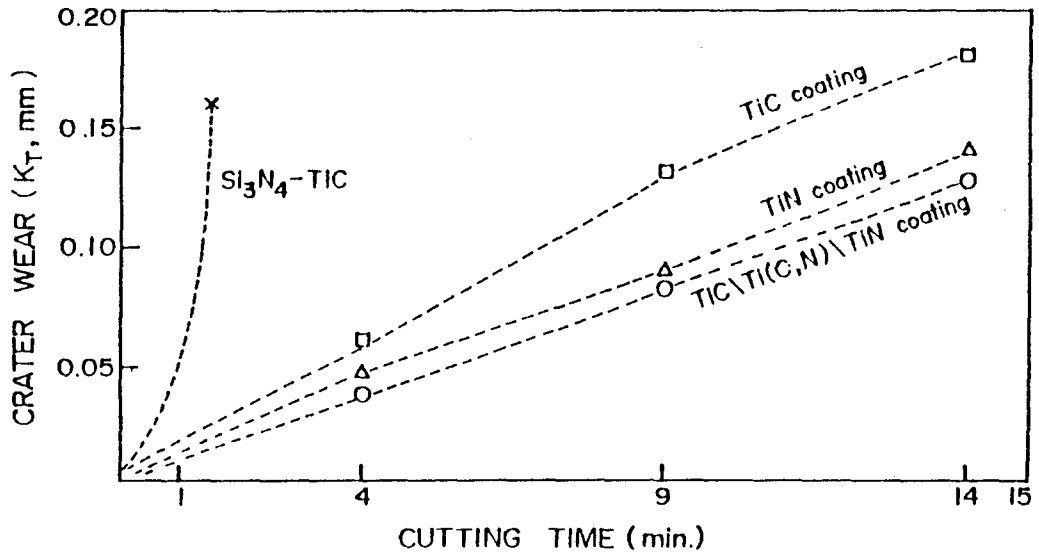


Fig. 2 Crater wear with time for different tools (cutting  
 speed :250m/min, feed rate :0.3mm/rev, depth of cut:  
 1.5mm, workmaterial:SM48C, cutting fluid:dry).